

Б. А. ВВЕДЕНСКИЙ, член-корреспондент Академии Наук СССР,
и Е. Н. МАЙЗЕЛЬС

О РАСЧЕТЕ РАДИОЗЕРКАЛ В ВИДЕ ПАРАБОЛОИДОВ ВРАЩЕНИЯ

1. Для достижения направленности излучения ультракоротких радиоволн иногда пользуются металлическими параболоидами вращения («зеркалами») с излучателем в фокусе зеркала. Строгий подсчет эл.-м. поля такого устройства встречает большие трудности, но, когда зеркало сравнительно велико (5—10 длин волны λ), возможен «оптический» диффракционный подсчет. Однако соответствующие выводы Дарбора (1), Морита (2) и Стаала (3) не свободны от возражений.

2. Поместим элементарный диполь в фокусе параболоида с осью вращения z . При достаточно больших размерах зеркала излученную волну после отражения ее от зеркала можно рассматривать, как плоскую, «падающую» на отверстие зеркала. Задача приводится таким образом к диффракционной задаче Фраунгофера лишь с учетом того обстоятельства, что амплитуды в плоскости отверстия зависят от угла ϑ между осью вибратора и лучом, исходящим из вибратора. Когда диполь направлен по оси x , отраженное поле имеет компоненты E_x и E_y . Однако при не слишком большом «угле диффракции» θ вполне достаточно учитывать только E_x ; это вполне строго для направления вдоль оси зеркала ($\theta = 0$). Дальнейший расчет сводится к подсчету диффракционного поля по найденному распределению E_x в плоскости отверстия. Если расстояние фокуса до любой точки поверхности зеркала $\gg \frac{\lambda}{2\pi}$, то:

$$E_{\vartheta} = \frac{60 \pi I l}{\lambda r} \sin \vartheta e^{jkr}, \quad (1)$$

где $I l$ —момент тока диполя, r —расстояние от диполя и $k = \frac{2\pi}{\lambda}$.

Учитывая поворот вектора E_{ϑ} , при отражении получим для распределения E_x в плоскости отверстия:

$$E_x = \frac{60 \pi I l}{\lambda} \frac{p^2 - \rho^2 \cos 2\varphi}{p^2 + \rho^2} \frac{2p}{p^2 + \rho_0^2}. \quad (2)$$

Здесь ρ и φ —полярные координаты на плоскости отверстия ($\varphi = 0$ на оси x); p —параметр параболоида и ρ_0 —радиус отверстия. Зеркало принимается идеально отражающим с плоскостью отверстия, нормальной к оси z .

3. Известную формулу Фраунгоферовой задачи для малых θ представим так:

$$E_{\theta} = -\frac{j}{\lambda} \cos \theta \frac{e^{jk(R+r)}}{R} \int_0^{2\pi} d\varphi \int_0^{\rho_0} E_x \rho d\rho e^{-jk\rho \sin \theta \cos(\varphi-\vartheta)}. \quad (3)$$

Здесь r —длина пути диполь—поверхность зеркала—плоскость отверстия, R —расстояние от диполя до точки наблюдения: $R \gg \rho_0$, θ и δ —зенитный и азимутальный углы точки наблюдения («углы диффракции»). «Прямое излучение» вибратора пренебрегаем. Подставляя E_x из (2) в (3), получаем в точке наблюдения, опуская $-je^{jk(R+r)}$:

$$E_\theta = \frac{60\pi Il}{\lambda^2 R} \frac{4\pi p^3}{p^2 + \rho_0^2} \cos \theta \{\Phi_1 + \Phi_2 \cos 2\delta\}, \quad (4)$$

где

$$\Phi_1 = \frac{1}{2\pi} \int_0^{\rho_0} \frac{\rho d\rho}{p^2 + \rho^2} \int_0^{2\pi} d\varphi e^{-jk\rho \sin \theta \cos(\varphi - \varepsilon)}, \quad (5)$$

$$\Phi_2 = -\frac{1}{2\pi p^2 \cos 2\delta} \int_0^{\rho_0} \frac{\rho^3 d\rho}{p^2 + \rho^2} \int_0^{2\pi} d\varphi \cos 2\varphi e^{-jk\rho \sin \theta \cos(\varphi - \delta)}. \quad (6)$$

Интеграция по частям приводит к рядам по функциям Бесселя возрастающего порядка. Если фокус зеркала лежит в плоскости отверстия, величины Φ_1 и Φ_2 выражаются кривыми фиг. 1.

Определяя коэффициент усиления зеркала по полю η через отношение напряженности поля, даваемого зеркалом, к напряженности поля диполя без зеркала при одном и том же значении тока в диполе и при расположении точки наблюдения в направлении максимального поля ($\theta = 0$), получим:

$$\eta = \frac{2\pi p^3}{\lambda(p^2 + \rho_0^2)} \ln \frac{p^2 + \rho_0^2}{p^2}. \quad (7)$$

η имеет максимум при $p \cong 1.4 \rho_0$:

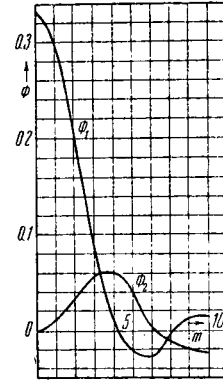
$$\eta_{\max} = 0.82 \frac{\pi \rho_0}{\lambda}. \quad (8)$$

При фиксированном ρ_0 уменьшение и увеличение фокусного расстояния вызывает уменьшение η ; при фокусе в плоскости отверстия имеем:

$$\eta = 0.69 \frac{\pi \rho_0}{\lambda}. \quad (9)$$

При увеличении фокусного расстояния (при $\rho_0 = \text{const}$) увеличивается равномерность распределения поля в отверстии зеркала, но из-за увеличения r ослабевает величина поля в отверстии. После перехода через оптимум при $p \cong 1.4\rho_0$ начинает превалировать второй, ослабляющий фактор. При $p < \rho_0$ появляются «вредные зоны» Дарбора. На фиг. 2 изображены (при расположении фокуса в отверстии) характеристики зеркала в приведенных координатах $m = k\rho_0 \sin \theta$ и $u = \frac{E_\theta}{E_0}$, где E_0 соответствует $\theta = 0$. Нанесенные точки взяты из экспериментов Морита (2) и Стааля (3), в которых условия опыта не слишком отличались от постулированных нами.

4. Дарбору принадлежит заслуга первого (частичного) решения разбираемой задачи и установления понятия «вредных зон». Действительно, при $\rho^2 \cos 2\varphi > p^2$ [уравнение (2)] величина E_x меняет свой знак, и следовательно соответствующие части зеркала ослабляют E . Очевидно «вредные зоны» должны отсутствовать при $\rho_0 < p$; на этом основании Дарбор предлагает ограничивать зеркала плоскостью, проходящей через фокус.



Фиг. 1.

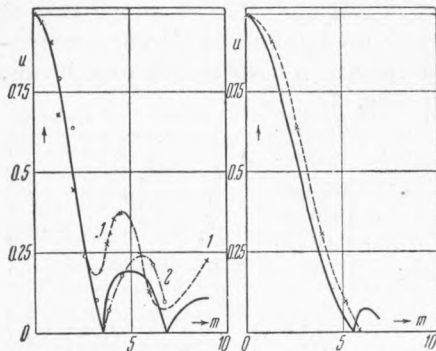
Однако, как видно из (7), оптимальному случаю соответствует ограничение зеркала плоскостью, лежащей еще ближе к вершине зеркала.

Дарбор пользуется для E_x выражением:

$$E_x = k2p \frac{p^2 - \rho^2 \cos 2\varphi}{(p^2 + \rho^2)^2}. \quad (10)$$

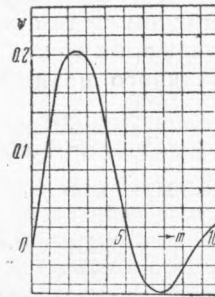
Нетрудно видеть, что (10) относится к поверхности зеркала, а не к плоскости отверстия. Дарбор игнорирует неодинаковость фаз у различных точек поверхности зеркала, хотя оптические пути от диполя до них различны. С другой же стороны, нельзя считать, что Дарбор ведет расчет от плоскости отверстия зеркала, ибо тогда в выражении (10) знаменатель следовало бы заменить на $(p^2 + \rho^2) \cdot 2p$. В рассматриваемом Дарбором случае пренебрежение разностью фаз приводит к переоценке действительного усиления (по полю) на 45%. Морита (2) выполнил расчет характеристик излучения зеркал, но при этом он применяет выражение (10), вследствие

чего кривые Морита не могут быть точными, и характеристики зеркал получаются по Морита более широкими, чем по (5) и (6) и по опытным данным самого Морита.



1 — Морита, $\lambda = 68$ см, $\rho_0 = 125$ см. $\times - \times$ — Морита, $\lambda = 68$ см, $\rho_0 = 125$ см.
2 — Стааль, $\lambda = 25$ см, Меридианная плоскость.
 $\rho_0 = 150$ см
Экватор. плоскость

Фиг. 2.



Фиг. 3.

Стааль (3) считает возможным исходить из явно неправильного положения, что отражение от зеркала не меняет величины параллельной вибратору компоненты электрического поля. Действительно, выражение Стааля для поля в отверстии:

$$E_{px} = 2p \cdot A \cdot \frac{4p^2 y^2 + (p^2 - x^2 - y^2)^2}{(x^2 + y^2 + p^2)^3} \quad (11)$$

является выражением для параллельной вибратору компоненты, вычисленной в предположении отсутствия зеркала и лишь с учетом соответствующего оптического пути. Далее характеристики вычисляются Стаалем по приближенному, мало обоснованному способу, хотя и без необоснованных допущений удастся получить более общее выражение с соответствующими графиками, как показано выше.

5. В случае аксиального расположения диполя характеристика излучения зеркала является телом вращения. Фиг. 3 относится к случаю, когда диполь помещен в плоскости отверстия. Максимум излучения имеет место под углом

$$\theta_1 = \arcsin \frac{2.3\lambda}{2\pi\rho_0} \cong \frac{2.3\lambda}{2\pi\rho_0}. \quad (12)$$

При этом коэффициент усиления по полю η_1 почти вдвое меньше, чем в (8), ибо

$$\eta_1 = 0.420 \frac{\pi \rho_0}{\lambda}. \quad (13)$$

Здесь «вредных зон» нет, оптимум η_1 лежит при $p = \rho_0$.

6. В случае зеркала с гипотетическим вибратором, излучающим равномерно во все стороны:

$$E_\theta = \frac{60\pi I l}{\lambda R} \frac{2p\rho_0}{p^2 + \rho_0^2} \frac{I_1(k\rho_0 \sin \theta)}{\sin \theta}, \quad (14)$$

$$\eta = \frac{\pi \rho_0^2}{\lambda} \frac{2p}{p^2 + \rho_0^2}; \quad \eta_{\max} = \frac{\pi \rho_0}{\lambda}. \quad (15)$$

7. Приведем выражения для ширины основных пучков характеристик направленности (θ_0 —угол от направления максимального излучения до направления на первый «нуль» излучения): а) вибратор, равномерно излучающий во всех направлениях: $\sin \theta_0 = 1.22 \frac{\lambda}{2\rho_0}$; б) диполь с осью в плоскости отверстия зеркала: для экваториальной плоскости $\sin \theta_0 = 1.05 \frac{\lambda}{2\rho_0}$; для меридиональной плоскости

$$\sin \theta_0 = 1.73 \frac{\lambda}{2\rho_0}. \quad (*)$$

Интересно отметить, что за исключением(*) θ_0 сравнительно немного отличаются от соответствующих значений для решетки синфазных антенн с общей длиной $2\rho_0$.

Поступило
28 IV 1939.

ЦИТИРОВАННАЯ ЛИТЕРАТУРА

- ¹ R. Darbord, L'onde électrique, 2, 53—83 (1932). ² K. Morita, Radio Research Report, Japan, 5, 137—150 (1935). ³ S. J. Staal, Hochfrequenztechnik und Elektroakustik, 50, 206—209.